

**تحضير وتشخيص ليكанд أزو جديد مع الايونات الفلزية  
( $Hg^{+2}$  و  $Cd^{+2}$  و  $Fe^{+2}$  و  $Mn^{+2}$ )**

**Preparation and characterization of new azo Ligand with metal ions  
[ $Mn^{+2}$ ,  $Fe^{+2}$ ,  $Co^{+2}$ ,  $Ni^{+2}$ ,  $Cu^{+2}$ ,  $Zn^{+2}$ ,  $Cd^{+2}$  and  $Hg^{+2}$ ]**

\*أ.د. علاء فراك حسين      \*\*أ.م.د. عبد الله محمد علي

جامعة كربلاء / كلية العلوم / قسم الكيمياء

\*\*جامعة الكوفة / كلية التربية للبنات

**الخلاصة :-**

تضمن البحث تحضير الليكанд الجديد 2-[3-كاربوكسي-4-هيدروكسى فنيل) آزو] - 5,4-ثنائي فنيل اميدازول 2-[3-Carboxy-4-hydroxyphenyl)azo]-4,5-diphenylimidazole (CHPAI) وذلك من ازدواج ملح الديازونيوم للمركب الأميني 5- أمينو حامض السلسليك مع المركب 5,4-ثنائي فنيل اميدازول في المحيط القاعدي وتم تحضير ثمانية معقدات مخلبية جديدة لهذا الليكанд مع ايونات (II) Mn و (II) Fe و (II) Co و (II) Ni و (II) Cd و (II) Zn و (II) Cu و (II) Hg . شخص الليكанд والمعقدات المحضرة بواسطة تقنية التحليل الكمي الدقيق للعناصر (C.H.N) لبعض المعقدات وأطيف الأشعة تحت الحمراء وأطيف الأشعة فوق البنفسجية - المرئية فقد أظهرت محاليل المعقدات في الإيثانول إزاحة حمراء (نسبة لمحلول الليكанд) لوحظت في المنطقة المرئية ولجميع المعقدات المحضرة أما دراسة أطيف الأشعة تحت الحمراء (FT-IR) للمعقدات وعند مقارنتها مع أطيف الليكанд أعطت تغيرات واضحة إذ أظهرت هذه الأطيف حزماً جديداً لم تكن موجودة أصلاً في أطيف الليكанд تعزى إلى ارتباط الايونات الفلزية مع الذرات المانحة في الليكанд فيما عانت حزم أخرى من تغيرات واضحة في الشكل والشدة والموقع ، الأمر الذي يدل على حصول عملية التناقض بين الايونات الفلزية موضوع الدراسة و الليكанд . أما دراسة التوصيلية المولارية فقد بينت انعدام الصفة الأيونية للمعقدات المحضرة في بحثنا هذا وأجريت قياسات الحساسية المغناطيسية للمعقدات الفلزية وقد تبين منها انعدام الصفة المغناطيسية لمعقدات ايونات الخارصين (II) الكادميوم (II) والزنبق (II) في حين أثبتت هذه القياسات وجود صفة البارامغناطيسية لمعقدات النحاس (II) والنikel (II) والكوبالت (II) والحديد (II) والمنغنيز (II) .

ومن خلال النتائج التي تم التوصل إليها تم اقتراح الصيغ التركيبية للمعقدات المخلبية التي تبين من خلالها أن ليكанд الأزو يسلك ليكанд ثانوي السن إذ تم التناقض عن طريق ذرة نيتروجين الحلقة غير المتتجانسة و نيتروجين مجموعة الأزو الجسرية البعيدة عن الحلقة المذكورة الأمر الذي أدى إلى تكوين معقدات مخلبية اتخذت الشكل ثماني السطوح في جميع المعقدات .

**Abstract :-**

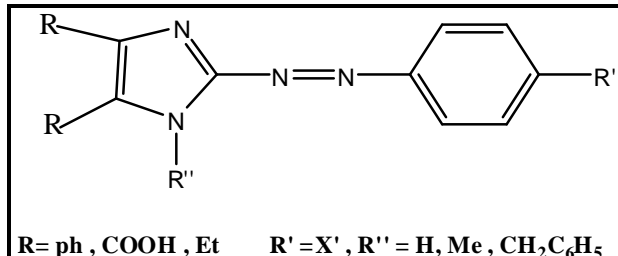
This study included the preparation of the new Ligand 2-[3-Carboxy-4-hydroxy phenyl) azo]-4,5-diphenyl imidazole (CHPAI) by reacting adiazonium salt solution of amino compound 5- amino salicylic acid with 4,5-diphenyl imidazole in alkaline . eight complexes have been prepared by reacting this ligand with the following ions [Mn(II), Fe(II), Co(II), Ni(II), Cu(II), Zn (II), Cd(II) and Hg(II)] .

Identify this ligand and complexes by C.H.N analysis to some of this complexes ,Uv-Visible spectra and infrared spectra. Uv-Visible spectra shows solution in ethanol red shift showed in Visible spectra of all complexes . The infrared spectra of them were also studied .They show obvious changes with the ligand spectrum . New bands have been appeared which are not existed in the ligand spectra this was due to the combination of the metal ions with the donating atoms in the ligand .On the other hand ,other bands showed changes in the shape; position and intensity which is an evidence that a process of coordination had happened between the studied metal ions and the ligand. The conductivity measurements have shown non ionic characters of all complexes in ethanol solution .The magnetic susceptibility of the metal ions was also measured showing that the complexes of the [Mn(II), Fe(II) , Co(II), Ni(II) and Cu(II)] ions are paramagnetic while the [Zn(II), Cd(II) and Hg(II)] were diamagnetic.

From the above observations, the geometrical structure of all complexes was octahedral .

## المقدمة Introduction

تع أصياغ الأزو من أهم أنواع الأصياغ المعروفة، فقد تم اكتشافها وتسميتها عام 1860 من قبل Greiss (١) فقد شخص وجود ذرتين نيتروجين مرتبطتين معًا بأصارة مزدوجة ( $-N=N-$ ) في الجزيئة. يطلق المصطلح أميدازول على الحلقة الخاميسية غير المتجانسة التي تحتوي على مجموعة أميني إضافة إلى ذرة النتروجين الثنوية حيث حضرت سلسلة من ليكандات الأزو أميدازول بإضافة ملح الديازونيوم إلى محلول كحولي للأميدازول في وسط قاعدي ضعيف ، كذلك تم تحضير العديد من ليكандات الأزو أميدازول المغوض في الموقعين (٥,٤) (٢) والصيغة العامة لهذه الليكандات هي



تدخل حلقة الاميدازول في تركيب العديد من الأنظمة الكيميائية والبيولوجية<sup>(3)</sup> كالهستدين، مما جلب الكثير من الباحثين لدراسة المركبات الحاوية على المركب المذكور وتنسيقه مع ايونات العناصر الفلزية مما يؤدي إلى تثبيط بعض الإنزيمات الحيوية داخل الخلية<sup>(4)</sup>. كما أشارت الدراسة<sup>(5)</sup> إلى إمكانية استعمال مركبات الاميدازول ومعدقاتها في تقنيات مختلفة زيادة على استعمالاتها المعروفة بوصفة كواش فـ عـضـ موـدةـ موـيةـ . Chromogenic reagents

أما في جانب الكيمياء التحليلية فقد استعملت كواشف للتقدير والكشف عن الكميات الضئيلة من الايونات الفلزية فقد تم استخدام الليكائد azo-4,5-diphenyl imidazole-1-Hydroxy-2-naphthyl (I) في تقدير ايون الزئبق (II) طيفياً عند الطول الموجي للامتصاص الأعظم (566nm) إذ كان مدى التقدير (60 جزءاً) بالمليون و الامتصاصية المولارية  $(1.6 \times 10^5 \text{ L} \cdot \text{mol}^{-1} \cdot \text{cm}^{-1})$ <sup>6</sup> وفي دراسة حديثة اعد نسيباً<sup>7</sup> تم تحضير الليكائد azo-4,5-diphenyl imidazole (L) واستعماله في استخلاص كميات ضئيلة من النحاس باستخدام مذيب الكلوروفورم عند الطول الموجي للامتصاص الأعظم (497nm) و (pH=6) وتطلب الطريقة زمن رج مقداره 25 دقيقة.

## 2- الجزء العملي Experimental part

### **الأجهزة والمواد :**

جميع المواد الكيميائية المستخدمة كانت مجهزة من الشركات GRIFFIM و FLUKA و B.D.H وكانت على درجة عالية من الجودة والنقلة .

#### 1- جهاز قياس أطيف الأشعة تحت الحمراء من نوع

## FT-IR-8400S Shimadzu(Japan)

2- جهاز قياس أطيف الأشعة فوق البنفسجية- المرئية من نوع

## **UV-Visible Spectrophotometer-1800, Shimadzu,( Japan).**

### 3- جهاز قياس التوصيلية المولارية من نوع

## Digital conductivity Meter-WT-720-inoLab (Germany).

#### 4- جهاز التحليل الكمي الدقيق للعناصر نوع

**GGG.WWW(49), (Italy) .**

## 5- جهاز قياس درجة الانصهار نوع

## **Stuart Melting Point Apparatus (England) .**

## 6- میزان حساس نوع

**BL 2105 Sartorius (Germany).**

نوع کهربائی مسخن /

IKA RH Basic2 (Korea).

١.٢- تحضير الياكادن : - تم تحضير الياكادن بخطوئين  
 ١.١.٢- تحضير المادة الأولية ٥,٤- ثانوي فنيل اميدازول

تم اعتماد طريقة تكافف ألفا - ثنائي الكاربونيل مع الأمونيا والالديهايد لتكوين مشتق الاميدازول<sup>(8)</sup> وقد حضرت المادة الأولية بمفاغلة البنزيل مع كل من سداسي مثيلين رباعي الأمين و خلات الأمنيوم بوجود حامض الخليك التاجي للحصول على الناتج ، أضيف (50mL) من حامض الخليك التاجي إلى مزيج مكون من (2.1 g, 0.01 mole ) من البنزيل و (2.1 g, 0.015 mole) من سداسي مثيلين رباعي أمين و(3.7 g, 0.07 mole) من خلات الأمونيوم في دورق زجاجي سعة (100mL) وصعد المزيج لمدة ساعة واحدة مع التحريك المستمر، ثم نقل محلول بعد تبريدة إلى بيكر سعة (1L) وخفف بإضافة (400mL) من الماء المقطر وبعد إضافة هيدروكسيد الأمونيوم ترسب مشتق الاميدازول رشح الراسب وغسل بالماء المقطر للتخلص من القاعدة الزائدة وجفف في الهواء وتمت إعادة بلورته من الإيثانول والحصول على راسب أبيض جفف وقيست درجة انصهاره وكانت (230 °C-229 °C) ونسبة الناتج (75%).

2-1.2- تحضير الـلـيـكـانـدـ 2ـ [ـ3ـ كـارـبـوكـسـيـ 4ـ هـيـدـرـوـكـسـيـ فـنـيلـ)ـ آـزوـ]ـ 5ـ,4ـ- ثـنـائـيـ فـنـيلـ اـمـيدـازـولـ (ـ CHPAIـ

تم إذابة (0.01 mol g 1.53) من المركب-5-اميبيو حامض السلسليك في مزيج مكون من (3mL) حامض الهيدروكلوريك المركز (11 M) و(25mL) ماء مقطر، رشح المحلول للتخلص من البقايا غير الذائية وجرى تبريد المحلول حتى درجة (5 °C)- (5 °C)- باستعمال حمام ثلجي ملحي ، ثم أضيف محلول (0.7 g, 0.01 mole) من نتريت الصوديوم المذابة في (10mL) ماء مقطر بارد قطرة فقطرة مع التحريك المستمر ومراعاة عدم ارتفاع درجة الحرارة فوق (5 °C). أضيف محلول كلوريد الديازونيوم هذا قطرة فقطرة مع التحريك المستمر إلى محلول (2.20 g, 0.01 mole) من المركب-5-4-ثنائي فنيل أميدازول المذاب في مزيج (10%) محلول هيدروكسيد الصوديوم لوحظ تغير لون المحلول من الأصفر الباهت إلى البرتقالي المحمر ثم ترك المحلول بعد إتمام الإضافة إلى اليوم التالي ثم برد المحلول وجرى تعديل الدالة الحامضية حتى (pH=6) باستخدام حامض الهيدروكلوريك بتتركيز (0.5 M) مع مراعاة التبريد لوحظ تكون راسب برتقالي غسل عدة مرات بالماء المقطر للتخلص من ملح كلوريد الصوديوم الناتج من التفاعل .جفف الراسب في الهواء وتم إعادة بيلورته من الايثانول وكانت نسبة الناتج (55%) ودرجة انصهار(210 °C).

2.2- تحضير المعقّد: (CMBAD) (النسبة المئوية 0.182 g / 0.003 mole) (15 mL)

تم تحضير المعقاد وذلك من إصافة (0.192 g, 0.002 mole) من النيكاد (CMPAI) والماء في (15 mL) من الححوال الاشلي ب بصورة تدريجية مع التحريك المستمر إلى (0.136g, 0.138g, 0.197g, 0.271g, 0.126g, 0.237g) و (Mn<sup>2+</sup>) (0.001mole) من كلوريدات الايونات (0.170g, 0.237g) و (Fe<sup>+2</sup>) و (Co<sup>+2</sup>) و (Ni<sup>+2</sup>) و (Cu<sup>+2</sup>) و (Zn<sup>+2</sup>) و (Cd<sup>+2</sup>) و (Hg<sup>+2</sup>) على التوالي وكل على حده والمذابة في (15 mL) الماء المقطر لواضح ظهور رواسب ذوات ألوان مختلفة برد المزيج ورشح الراسب وغسل مرات عده بالماء المقطر جفف وأعيدت بلورته من الإيثانول.

## Results and discussion النتائج والمناقشة :-

درست المركبات الناتجة بواسطه تقنيات مختلفة منها :-

## 1- الاستقرارية الحرارية Thermal Stability

قيس درجات الانصهار للمعدات موضوع الدراسة إذ بينت النتائج في الجدول (1) ان جميع المعدات المحضر ذات استقرارية حيدة.

## **جدول (1) : بعض الخصائص الفيزيائية لليكائد والمعقدات المحضرة**

Compound	M.Wt	Coluor	M.P. °C	Yield%
4,5-Diphenyl imidazole	220	White	229-230	75%
(CHPAI)	384	Deep Orange	210	65%
[Mn(CHPAI) <sub>2</sub> Cl <sub>2</sub> ]	893.93	Brown	222	64%
[Fe(CHPAI) <sub>2</sub> Cl <sub>2</sub> ]	894.84	Brown	298	68%
[Co(CHPAI) <sub>2</sub> Cl <sub>2</sub> ]	897.90	Violet	200	60%
[Ni(CHPAI) <sub>2</sub> Cl <sub>2</sub> ]	897.69	Brown	240	55%
[Cu(CHPAI) <sub>2</sub> Cl <sub>2</sub> ]	902.54	Deep Violet	140	59%
[Zn(CHPAI) <sub>2</sub> Cl <sub>2</sub> ]	904.40	Violet	160	60%
[Cd(CHPAI) <sub>2</sub> Cl <sub>2</sub> ]	951.41	Brown	192	98%
[Hg(CHPAI) <sub>2</sub> Cl <sub>2</sub> ]	1039.59	Brown	220	63%

## 2- الذوبانية Solubility

أختبرت قابلية ذوبان الليكанд والمعقدات المحضرة في مذيبات مختلفة القطبية إذ لوحظ إن الليكанд والمعقدات المحضرة ذات قابلية ذوبان جيدة في بعض المذيبات وشححة الذوبان أو لا تذوب في مذيبات أخرى .

**جدول (2) : ذوبانية الليكанд والمعقدات المحضرة في مذيبات مختلفة القطبية**

Compound	DMSO	DMF	EtOH	Water	Benzene	CCl <sub>4</sub>	Hexane	Ether
( CHPAI)	+	+	+	+	+	+	+	+
(CHPAI) <sub>2</sub> Cl <sub>2</sub> ] [Mn]	+	+	+	-	-	-	-	-
(CHPAI) <sub>2</sub> Cl <sub>2</sub> ] [ Fe]	+	+	+	-	÷	-	-	-
[ (CHPAI) <sub>2</sub> Cl <sub>2</sub> ] Co	+	+	+	-	÷	÷	÷	÷
Ni (CHPAI) <sub>2</sub> Cl <sub>2</sub> ] [	+	+	+	-	÷	÷	÷	÷
(CHPAI) <sub>2</sub> Cl <sub>2</sub> ] [Cu]	+	+	+	-	÷	-	÷	+
(CHPAI) <sub>2</sub> Cl <sub>2</sub> ] [Zn]	+	+	+	-	÷	-	-	+
(CHPAI) <sub>2</sub> Cl <sub>2</sub> ] [ Cd]	+	+	+	-	÷	-	-	÷
(CHPAI) <sub>2</sub> Cl <sub>2</sub> ] [Hg]	+	+	+	-	÷	-	-	-

## 3- التوصيلية المolarية

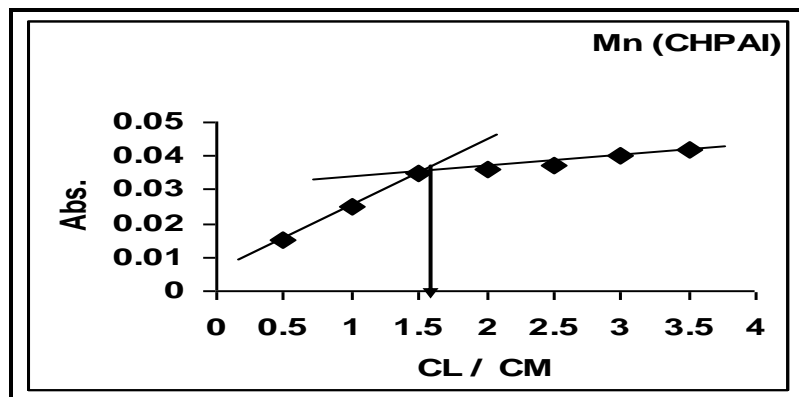
الجدول (3) التوصيلية المolarية للمعقدات المحضرة المذابة في الإيثanol وبدرجة حرارة المختبر وبتركيز (1x10<sup>-3</sup> M ) ومن خلال هذه النتائج يتبيّن إن جميع المعقدات المحضرة هي معقدات غير الكتروليتيّة نظرًا لقيم المنخفضة للتوصيلية المolarية .

**جدول (3): قيم التوصيلية المolarية ( $\Lambda_m$ ) لمحاليل معقدات الليكанд في الإيثanol المطلق بتركيز (1x10<sup>-3</sup> M )**

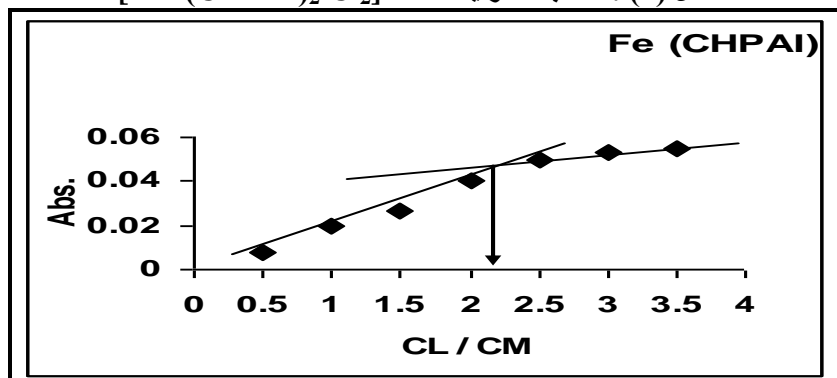
Complex	$\Lambda_m$ in Ethanol s.mol <sup>-1</sup> . cm <sup>2</sup>
[Mn (CHPAI) <sub>2</sub> Cl <sub>2</sub> ]	4.7
[ Fe (CHPAI) <sub>2</sub> Cl <sub>2</sub> ]	7.6
[ Co(CHPAI) <sub>2</sub> Cl <sub>2</sub> ]	8.0
[ Ni (CHPAI) <sub>2</sub> Cl <sub>2</sub> ]	1.5
[Cu (CHPAI) <sub>2</sub> Cl <sub>2</sub> ]	15.6
[Zn (CHPAI) <sub>2</sub> Cl <sub>2</sub> ]	4.4
[ Cd (CHPAI) <sub>2</sub> Cl <sub>2</sub> ]	4.7
[ Hg (CHPAI) <sub>2</sub> Cl <sub>2</sub> ]	2.8

**4- تعين تكافؤية المعقادات المحضرة**

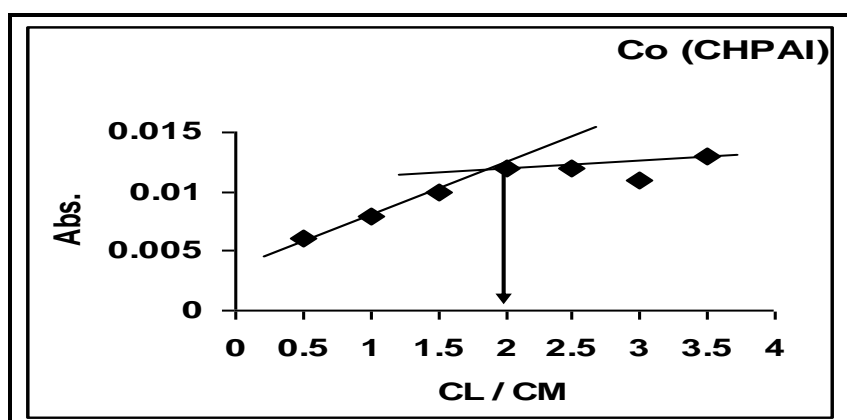
هناك عدة طرق يمكن من خلالها تعين تكافؤية المعقادات المحضرة وان طريقة النسب المولية تعد الطريقة الأسهل والأكثر شيوعاً في تحديد صيغ معقادات ليكандات الازو<sup>(9)</sup> فضلاً عن تميزها بالبساطة حيث يتم فيها قياس الامتصاص لسلسلة من محاليل المعقادات الحاوية على كبيات متزايدة من إحدى المكونتين وهي مكونة الليكанд مع ثبوت المكون الآخر من المعقّد وهو الأيون الفلزوي وتسجل قيمة الامتصاص عند  $\lambda_{\text{max}}$  حيث كانت النسبة المولية لجميع معقادات الايونات الفلزية هي (1:2) (ليكанд : فلز) ، نتائج هذه الدراسة مبنية في الأشكال (8-1)



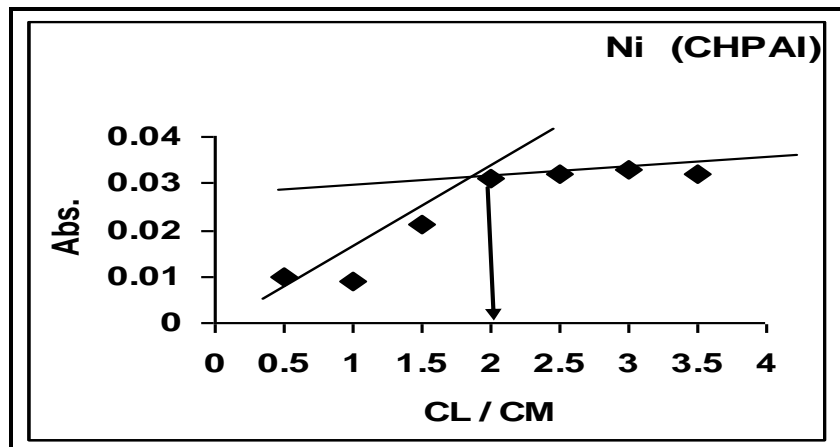
الشكل (1) : النسبة المولية للمعقّد  $[\text{Mn}(\text{CHPAI})_2 \text{Cl}_2]$



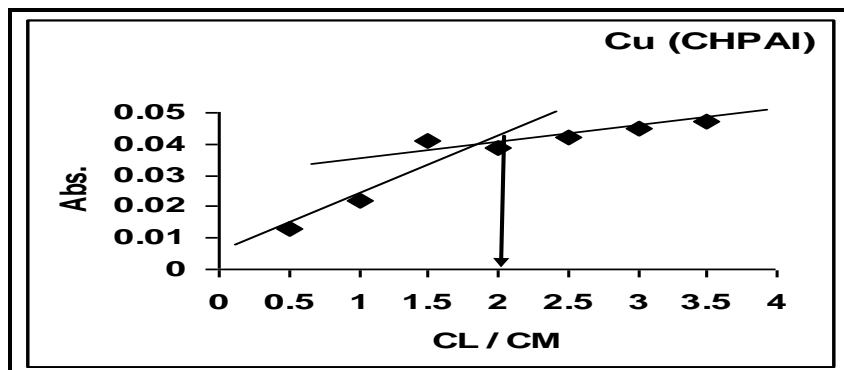
شكل (2) : النسبة المولية للمعقّد  $[\text{Fe}(\text{CHPAI})_2 \text{Cl}_2]$



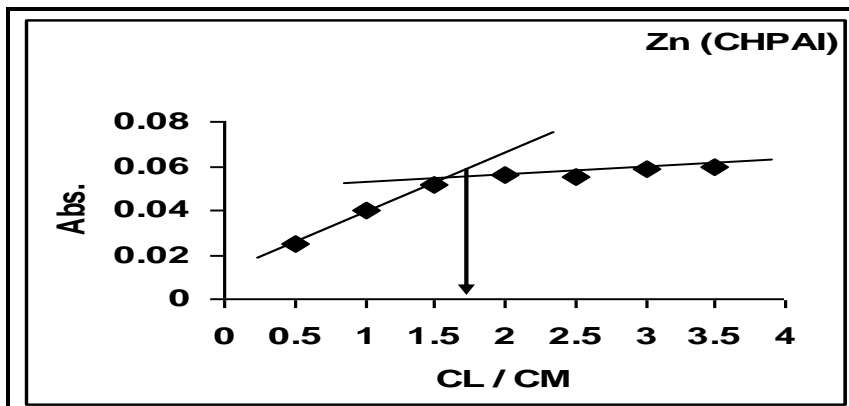
شكل (3) : النسبة المولية للمعقّد  $[\text{Co}(\text{CHPAI})_2 \text{Cl}_2]$



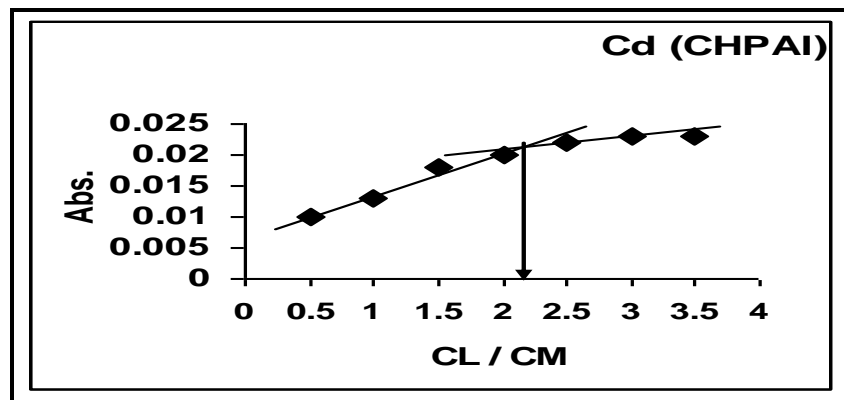
شكل (4) : النسبة المولية للمعقّد  $[ \text{Ni} (\text{CHPAI})_2 \text{Cl}_2 ]$



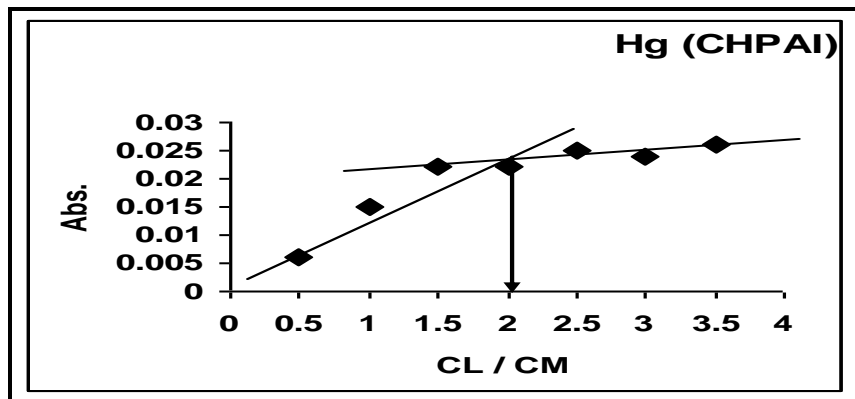
شكل (5) : النسبة المولية للمعقّد  $[ \text{Cu} (\text{CHPAI})_2 \text{Cl}_2 ]$



الشكل (6) : النسبة المولية للمعقّد  $[ \text{Zn} (\text{CHPAI})_2 \text{Cl}_2 ]$



شكل (7) : النسبة المولية للمعقّد  $[ \text{Cd} (\text{CHPAI})_2 \text{Cl}_2 ]$



شكل (8) : النسبة المولية للمعقد [ Hg (CHPAI)<sub>2</sub> Cl<sub>2</sub> ]

5- حساب ثابت استقرارية المعقدات المحضرة

لغرض معرفة ثابت الاستقرارية للمعقادات الفلزية المحضرة والموضحة في الجدول رقم (4) فقد تم استخدام المعادلات الآتية<sup>(10)</sup> :



حيث إن :  $M$  = الايون الفلزي

$$\alpha c \quad 2\alpha c \quad (1-\alpha) c \quad \quad \quad \text{الليكاند} = L$$

$$K = \frac{[ML_2]}{[M^{+2}] [L]} \quad \dots \dots \dots \quad (2)$$

إذا كانت ( $\alpha$ ) درجة التفكك و( $C$ ) التركيز المولاري للمعقد المكون، تكتب المعادلة (1) بالشكل الآتي

$$K = \frac{(1-\alpha) c}{\alpha c (2\alpha c)^2} \quad \dots \dots \dots \quad (3)$$

تم حساب قيم (K) التي تمثل ثابت التكوين (أو ثابت الاستقرار) للمعقادات الكيلومترية من المعادلة (3) بعد حساب قيمة ( $\alpha$ ) التي تمثل ثابت التفكك من المعادلة (4)

$$\alpha = \frac{A_m - A_s}{A_m} \quad \dots \dots \dots \quad (4)$$

حيث :

$A_s = A_s$  الامتصاص عند نقطة التكافؤ

جدول (4) : ثابت استقرار المعقادات المحضرة

Complex	$A_s$	$A_m$	$\alpha$	K
[Mn (CHPAI) <sub>2</sub> Cl <sub>2</sub> ]	0.042	0.036	0.142	$5.275 \times 10^{10}$
[ Fe (CHPAI) <sub>2</sub> Cl <sub>2</sub> ]	0.055	0.049	0.109	$15.760 \times 10^{10}$
[ Co(CHPAI) <sub>2</sub> Cl <sub>2</sub> ]	0.013	0.012	0.0769	$65.990 \times 10^{10}$
[ Ni (CHPAI) <sub>2</sub> Cl <sub>2</sub> ]	0.033	0.032	0.030	$2993.827 \times 10^{10}$
[Cu (CHPAI) <sub>2</sub> Cl <sub>2</sub> ]	0.042	0.041	0.0238	$7608.729 \times 10^{10}$
[Zn (CHPAI) <sub>2</sub> Cl <sub>2</sub> ]	0.060	0.056	0.066	$132.059 \times 10^{10}$
[Cd (CHPAI) <sub>2</sub> Cl <sub>2</sub> ]	0.023	0.022	0.043	$699.817 \times 10^{10}$
[ Hg (CHPAI) <sub>2</sub> Cl <sub>2</sub> ]	0.026	0.024	0.076	$69.240 \times 10^{10}$

**Spectral Studies** ٦- الدراسات الطيفية

## أولاً : أطیاف الأشعة فوق البنفسجية – المرئية

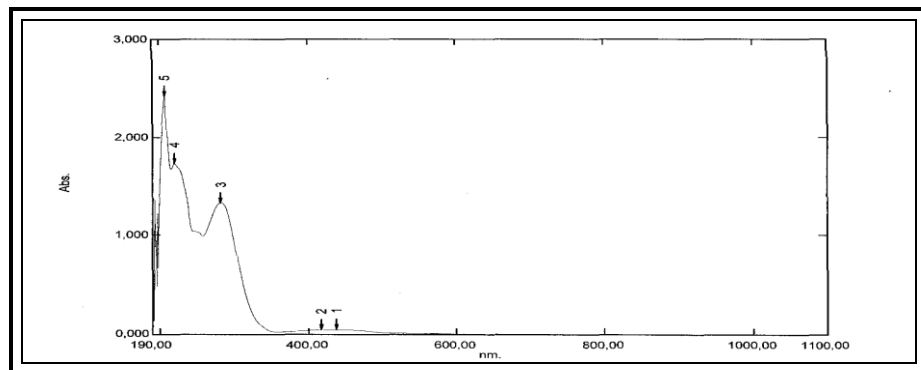
تعزى الامتصاصات في الأطيف الإلكتروني إلى الأنواع الآتية:

- أطيف ترتبط أساساً بالليكأند وتعرف بطيف الليكأند.
  - أطيف تتضمن انتقالات الكترونية ما بين الفلز والليكأند وتسمى بأطيف نقل الشحنة.
  - أطيف ترتبط أساساً بالفلز الذي يتأثر بوجود الليكأند وتدعى أطيف (d - d).
  - أطيف ترتبط بالآيون المرتبط بالآيون المعقد مثل طيف  $MnO_4^-$ .

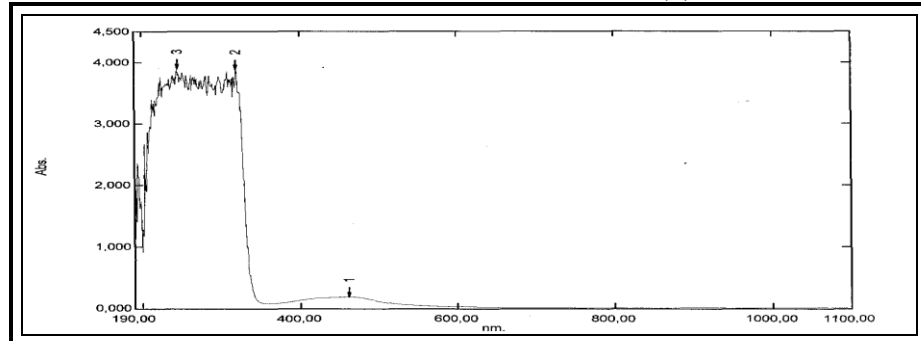
أطياف معدات الليكائد (CHPAI) أظهر طيف معقد ايون المنغنيز الثنائي حزمة امتصاص عند (462 nm) (21645 cm<sup>-1</sup>) تعود إلى الانتقال الالكتروني [A<sub>1g</sub> → E<sub>g</sub><sup>4</sup>] ، وأظهر طيف معقد ايون الحديد الثنائي حزمة امتصاص عند (471nm) (21231 cm<sup>-1</sup>) تعود إلى الانتقال الالكتروني [E<sub>g</sub><sup>5</sup> → T<sub>2g</sub><sup>5</sup>] بحسب مخطط أوركل الأول لمعدات ايون الحديد الثنائي سداسية التناستق، أما طيف معقد ايون الكوبالت الثنائي فقد أظهر حزمة امتصاص عند (527 nm) (18975 cm<sup>-1</sup>) (527 nm) (21) تعود إلى الانتقال الالكتروني [E<sub>g</sub><sup>4</sup> → T<sub>1g</sub>(F)<sup>4</sup>] أما الانتقال الالكتروني [T<sub>1g</sub>(F) → A<sub>2g</sub>(F)] فيحتاج طاقة عالية لأنه يتطلب نقل إلكترونين من الحالة المستقرة إلى الحالة المثارة والانتقال الالكتروني [T<sub>1g</sub>(F) → T<sub>1g</sub>(F)(p)] (v<sub>3</sub>) (21) كان خارج مدى الجهاز وهذه الانتقالات الثلاثة لمعدات ايون الكوبالت الثنائي سداسي التناستق بحسب الطرف الأيمن مخطط أوركل الثنائي، كما أظهر طيف معقد النikel الثنائي حزمة امتصاص عند (507nm) (19723cm<sup>-1</sup>) تعود إلى الانتقال [T<sub>2g</sub>(F)<sup>3</sup> → T<sub>1g</sub>(F)<sup>3</sup>] (v<sub>1</sub>) أما الانتقال الالكتروني [A<sub>2g</sub>(F) → A<sub>2g</sub>(F)<sup>3</sup>] فقد اختفت حزمته خلف حزمة انتقال الشحنة (C.T.) والانتقال الالكتروني [T<sub>1g</sub>(F) → A<sub>2g</sub>(F)<sup>3</sup>] (v<sub>2</sub>) (21) كان خارج مدى الجهاز وهذه الانتقالات الثلاثة لمعدات ايون النikel الثنائي سداسي التناستق حسب الطرف الأيسر لمخطط أوركل الثنائي، في حين أظهر معقد ايون النحاس الثنائي حزمة امتصاص عند (517nm) (19342cm<sup>-1</sup>) تعود إلى الانتقال الالكتروني [T<sub>2g</sub>(F)<sup>2</sup> → E<sub>g</sub><sup>2</sup>] لمعدات النحاس الثنائية سداسية التناستق بحسب مخطط أوركل الأول أما معدات ايونات الخارصين والكامديوم والزئبق الثنائية فقد أظهرت أطيافها حزم امتصاص عند (557nm) (17953 cm<sup>-1</sup>) (492 nm) (20325 cm<sup>-1</sup>) (446 nm) (22421 cm<sup>-1</sup>) على التوالي تعود إلى انتقالات من نوع [L → M] من الفلز إلى الليكائد. ونحن نتفق في تائجنا هذه مع ما جاء في الأدبات بخصوص الانتقالات الالكترونية السالفة الذكر<sup>(11)</sup>. وبين الجدول (5) قيم (nm)  $\lambda_{\max}$  و (cm<sup>-1</sup>)  $\nu_{\max}$  والانتقالات الالكترونية للمعدات الكيليتية المحضرة.

**جدول (5) :** قيم  $\lambda_{\max}$  (nm) و  $v_{\max}$  (cm<sup>-1</sup>) والانتقالات الالكترونية للمعدنات الكيليتية المحضرة

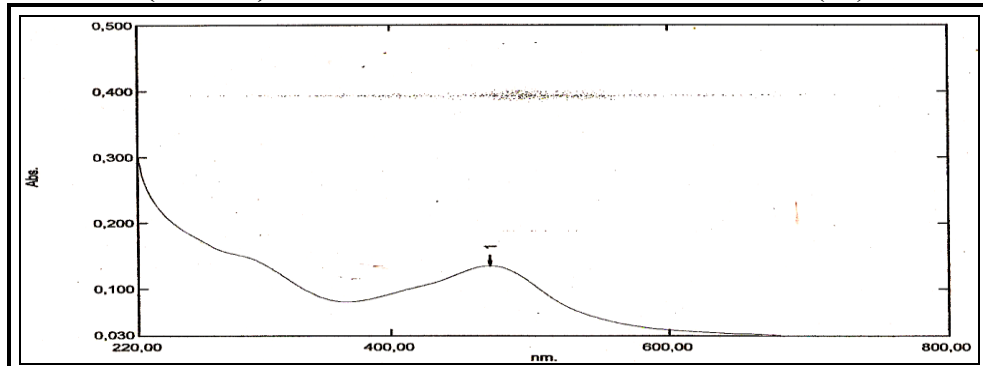
Complex	$\nu_{\max}$ (nm)	$\lambda_{\max}$ (cm <sup>-1</sup> )	Assignment
[Mn (CHPAI) <sub>2</sub> Cl <sub>2</sub> ]	462	21645	$^6A_1g \longrightarrow ^4Eg$
	320	31250	C.T.
	245	40816	L.F.
[ Fe (CHPAI) <sub>2</sub> Cl <sub>2</sub> ]	471	21231	$^5T_2 g \longrightarrow ^5Eg$
[ Co(CHPAI) <sub>2</sub> Cl <sub>2</sub> ]	527	18975	$[(v_1) ^4T_1g(F) \rightarrow ^4T_2g(p)]$
	297	33670	C.T.
	263	38022	C.T.
[ Ni (CHPAI) <sub>2</sub> Cl <sub>2</sub> ]	507	19723	$[(v_1) 3A_2g(F) \rightarrow ^3T_2g(F)]$
	306	32679	C.T.
[Cu (CHPAI) <sub>2</sub> Cl <sub>2</sub> ]	517	19342	$^2Eg \longrightarrow ^2T_2g$
	269	37174	C.T.
[Zn (CHPAI) <sub>2</sub> Cl <sub>2</sub> ]	557	17953	Red shift
	258	38759	C.T.
[Cd (CHPAI) <sub>2</sub> Cl <sub>2</sub> ]	492	20325	Red shift
	315	31746	C.T.
	245	40816	L.F.
	222	45045	L.F.
[ Hg (CHPAI) <sub>2</sub> Cl <sub>2</sub> ]	446	22421	Red shift



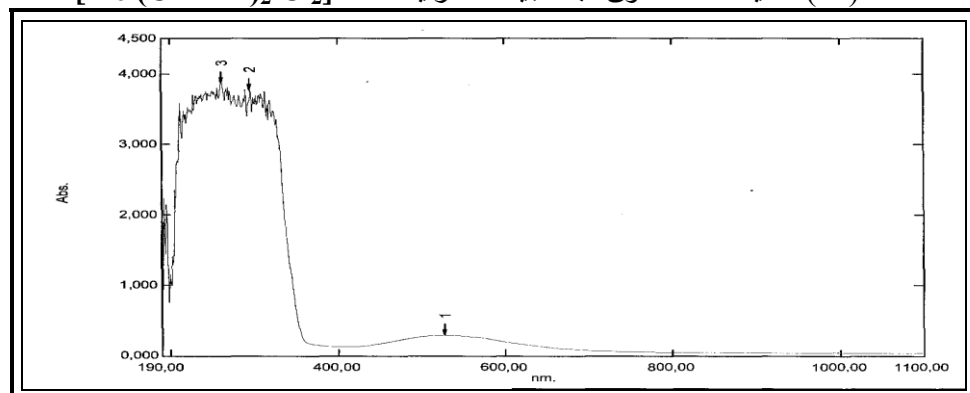
شكل (9) : طيف الأشعة فوق البنفسجية – المرئية لليكанд



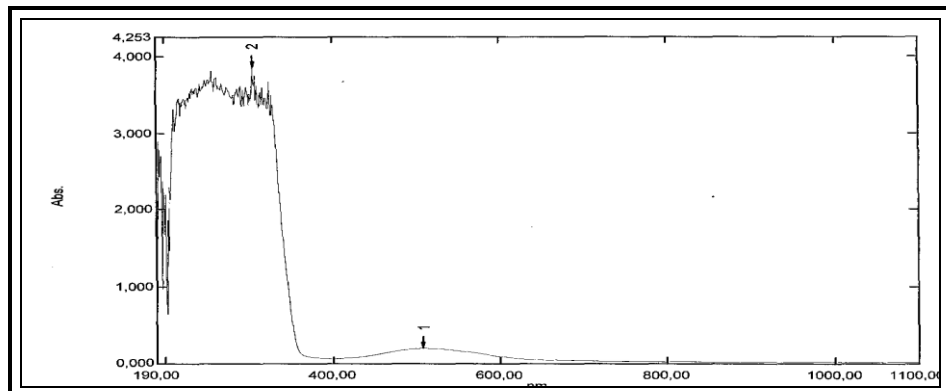
شكل (10) : طيف الأشعة فوق البنفسجية – المرئية للمعد [Mn (CHPAI)<sub>2</sub> Cl<sub>2</sub>]



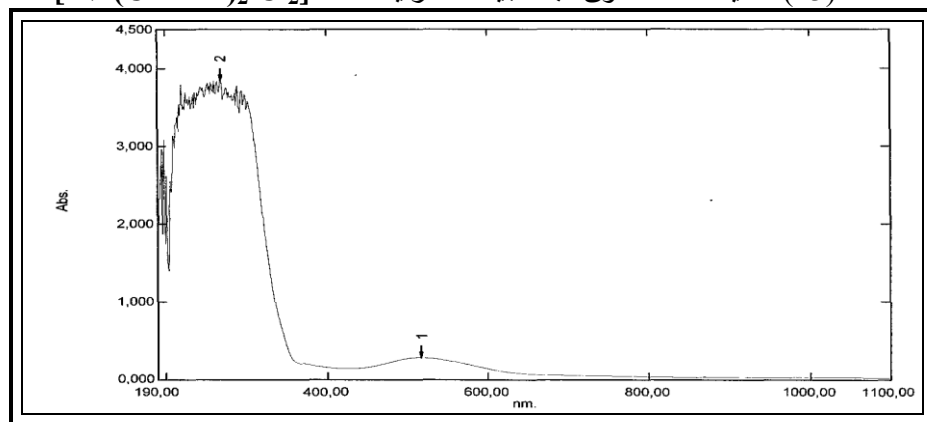
شكل (11) : طيف الأشعة فوق البنفسجية – المرئية للمعد [ Fe (CHPAI)<sub>2</sub> Cl<sub>2</sub> ]



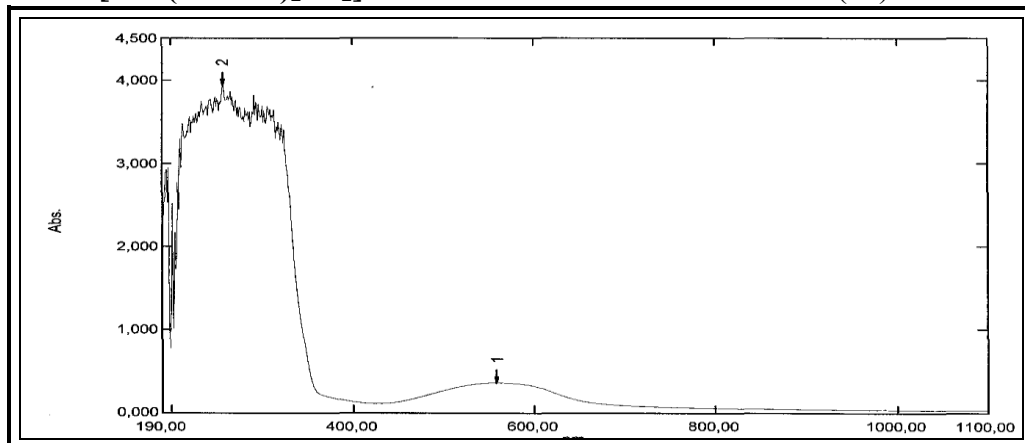
شكل (12) : طيف الأشعة فوق البنفسجية – المرئية للمعد [ Co (CHPAI)<sub>2</sub> Cl<sub>2</sub> ]



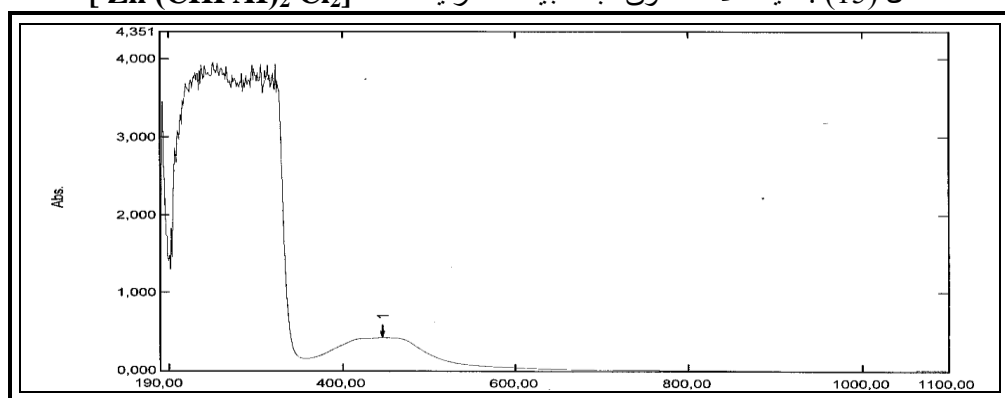
شكل (13) : طيف الأشعة فوق البنفسجية – المرئية للمعقد  $[Ni(CHPAI)_2Cl_2]$



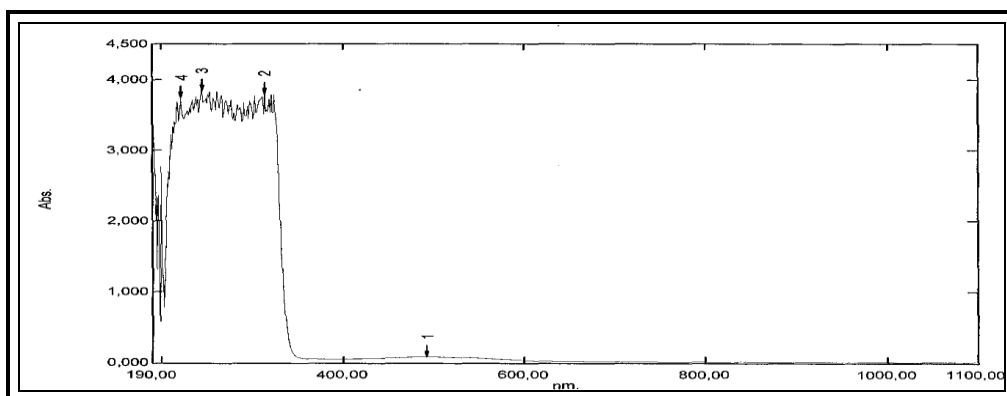
شكل (14) : طيف الأشعة فوق البنفسجية – المرئية للمعقد  $[Cu(CHPAI)_2Cl_2]$



شكل (15) : طيف الأشعة فوق البنفسجية – المرئية للمعقد  $[Zn(CHPAI)_2Cl_2]$



شكل (16) : طيف الأشعة فوق البنفسجية – المرئية للمعقد  $[Cd(CHPAI)_2Cl_2]$



شكل (17) : طيف الأشعة فوق البنفسجية – المرئية للمعقد [ Hg (CHPAI)<sub>2</sub> Cl<sub>2</sub> ]

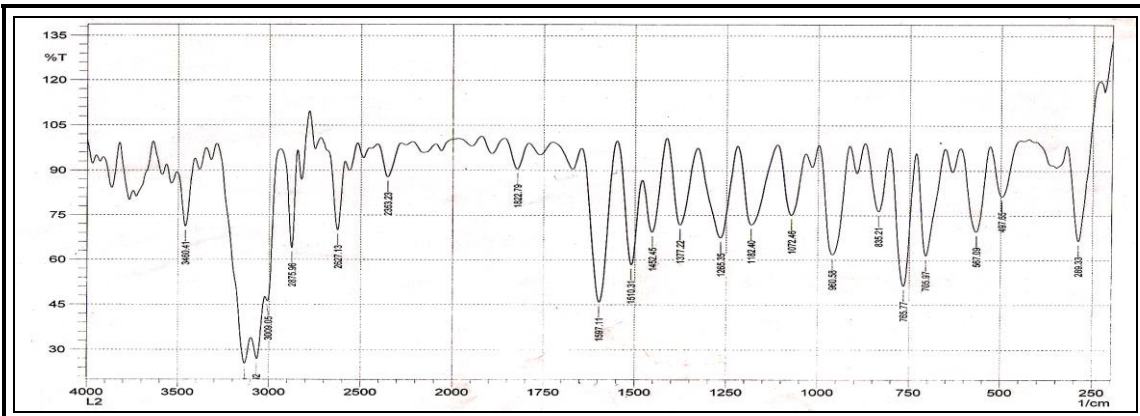
ثانياً" : أطیاف الأشعة تحت الحمراء

لقد تم تحديد موقع الحزم للإيكاند (CHPAI) ومعقداتهما ومحاولة تفسيرها بالاعتماد على ما ورد في الأدبيات<sup>(13,12)</sup>. إذ تم تشخيص حزم الامتصاص للإيكاند وملحوظة التغير الحاصل لهذه الحزم في الشكل والشدة والموضع عند تأثر الإيكاند مع الأيونات الفلزية لتكوين المعقدات الكيليتية. تبدي معقدات هذه العناصر تشابها فيما بينها في معظم الأحيان ، في حين أنها مختلفة تماماً عن طيف الإيكاند ويعود السبب لها التشابه إلى وجود نفس التأثيرات على اهتزاز المجاميع الفعالة للإيكاند.

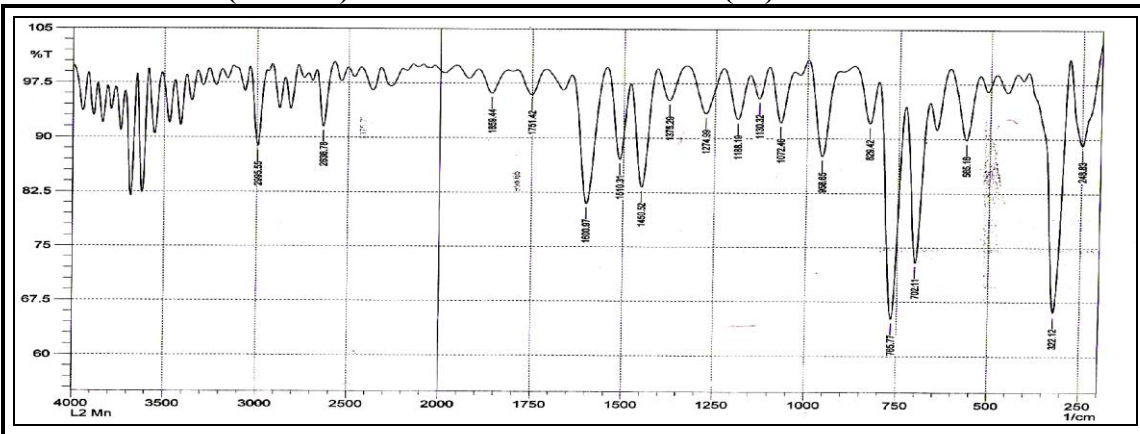
أظهرت أطیاف معقدات الإيكاند (CHPAI) إزاحة لحزمة الامتصاص العائنة للأصرة (C=N) ν نحو تردد أعلى وظهورها عند المدى (1600-1599 cm⁻¹) عانت هذه الحزمة "تغيراً ملحوظاً" في الموضع والشدة ويعزى سبب هذا الاختلاف إلى مشاركة المزدوج الإلكتروني غير الأصري لذرة نيتروجين حلقة الأميدازول (N<sub>3</sub>) في عملية التناسق مع الأيونات المعنية بالدراسة، كما لوحظ إزاحة نحو تردد أوطاً لحزمة الامتصاص العائنة للأصرة (N=N) ν وظهورها بحدود (1450-1369 cm⁻¹) في أطیاف المعقدات وقد عانت هذه الحزمة "تغيراً ملحوظاً" في الشكل والشدة والموضع في أطیاف المعقدات الكيليتية مما يشير إلى إقحام المزدوج الإلكتروني لذرة نيتروجين لمجموعة الأزو الجسرية البعيدة عن الحلقة غير المتجانسة بعملية التناسق ، كما أظهرت أطیاف المعقدات إزاحة لحزمة الامتصاص العائنة للأصرة (C-N) ν نحو تردد أعلى مقارنة بطيف الإيكاند. أظهر طيف الإيكاند حزمتي انحناء إحداهما متوسطة والأخرى قوية الشدة عند الترددات (769,696 cm⁻¹) تعزيزان إلى وجود حلقات الفنيل المرتبطتين بالحلقة غير المتجانسة وعند مقارنة هذا الطيف بأطیاف معقداتهما الكيليتية لم يلاحظ أي تغير في شكل وشدة هاتين الحزمتين. تؤكد هذه الإزاحات إلى حصول التناسق بين الإيكاند والأيونات الفلزية المعنية بالدراسة، وأظهرت أطیاف جميع المعقدات حزم امتصاص عند المدى (497-400 cm⁻¹) تعود إلى التردد الامتطاطي للأصرة (M-N) ν بالإضافة إلى حزم امتصاص عند المدى (341-315 cm⁻¹) تعود إلى التردد الامتطاطي للأصرة (M-Cl) ν<sup>1</sup>.

Compound	v(N-H)	v(O-H)	v(C=N)	v(N=N)	v(C-N)	v(M-N)	v(M-Cl)
4,5-diphenyl imidazole	3400 (m)	/	1600 (s)	/	1050 (m)	/	/
( CHPAI )	3400(w)	3200(br.)	1597 (m)	1452(w)	1040(m)	/	/
[ Mn (CHPAI) <sub>2</sub> Cl <sub>2</sub> ]	3400 (w)	3200 (m)	1600 (m)	1369 (w)	1072(m)	408(w)	316 (w)
[ Fe (CHPAI) <sub>2</sub> Cl <sub>2</sub> ]	3417(w)	3220 (m)	1600 (m)	1448 (w)	1060(w)	400 (w)	316 (w)
[ Co(CHPAI) <sub>2</sub> Cl <sub>2</sub> ]	3400 (w)	3203 (m)	1600 (m)	1450(w)	1050(w)	400 (w)	322 (w)
[ Ni (CHPAI) <sub>2</sub> Cl <sub>2</sub> ]	3406 (w)	3200 (m)	1599 (m)	1446 (w)	1076(w)	400 (w)	329 (w)
[ Cu (CHPAI) <sub>2</sub> Cl <sub>2</sub> ]	3400 (w)	3200 (m)	1600 (m)	1440(w)	1078(w)	400(w)	341 (w)
[ Zn (CHPAI) <sub>2</sub> Cl <sub>2</sub> ]	3406 (w)	3220 (m)	1600 (m)	1450 (w)	1074 (m)	497 (w)	335 (w)
[ Cd (CHPAI) <sub>2</sub> Cl <sub>2</sub> ]	3400(w)	3220 (m)	1599 (m)	1442(w)	1068 (m)	499 (w)	315 (w)
[Hg(CHPAI) <sub>2</sub> Cl <sub>2</sub> ]	3400(w)	3200 (m)	1599 (m)	1446 (w)	1072 (m)	400 (w)	318 (w)

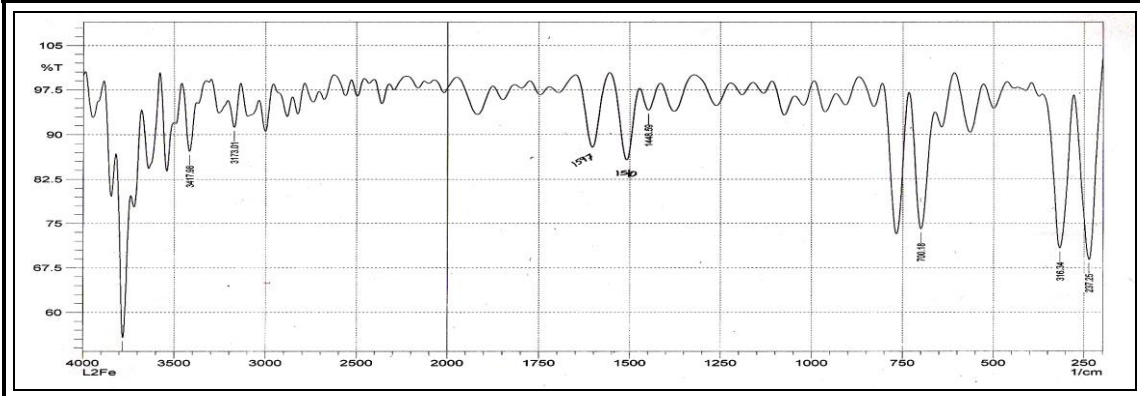
جدول (6): بعض الحزم المهمة في أطیاف الأشعة تحت الحمراء للإيكاند ومعقداته



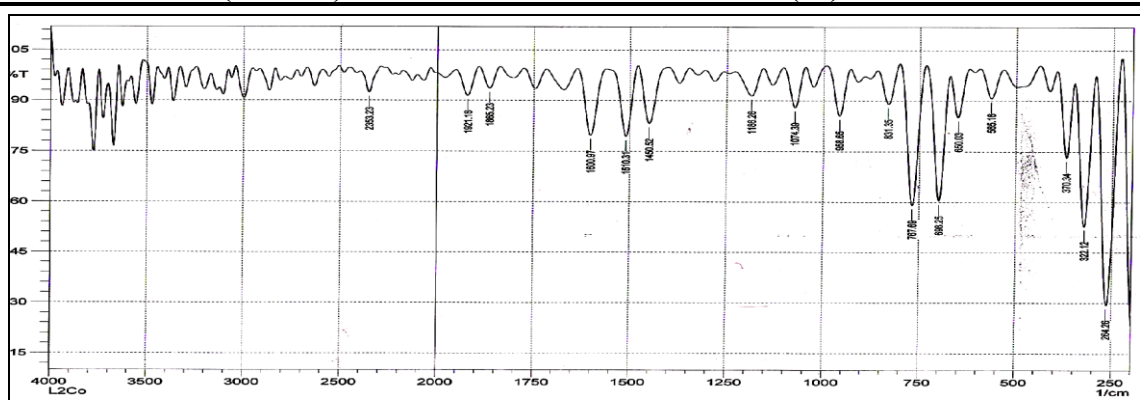
شكل (18) : طيف الأشعة تحت الحمراء للبيكاند (CHPAI)



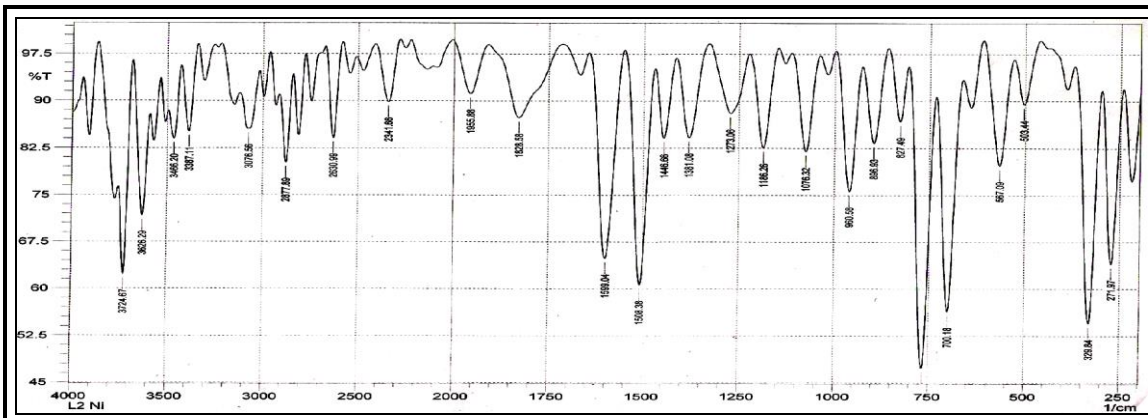
شكل (19) : طيف الأشعة تحت الحمراء للمعقد [Mn (CHPAI)<sub>2</sub> Cl<sub>2</sub>]



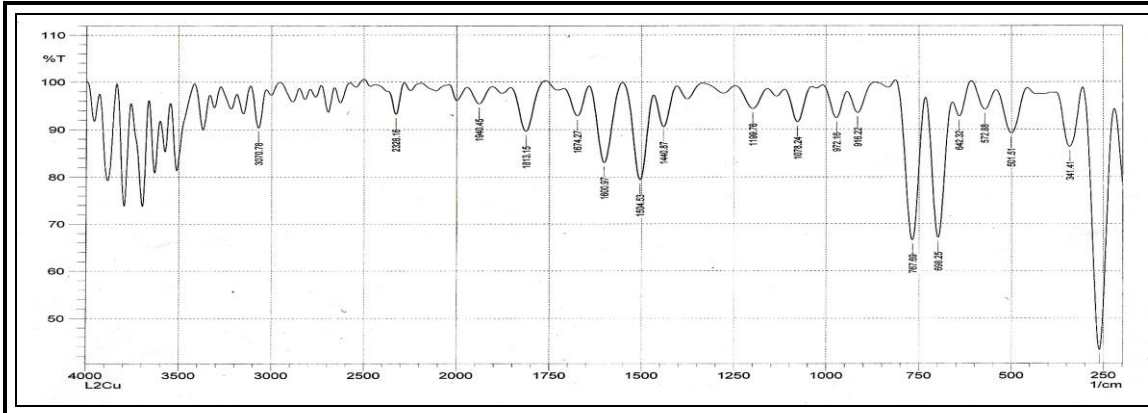
شكل (20) : طيف الأشعة تحت الحمراء للمعقد [Fe (CHPAI)<sub>2</sub> Cl<sub>2</sub>]



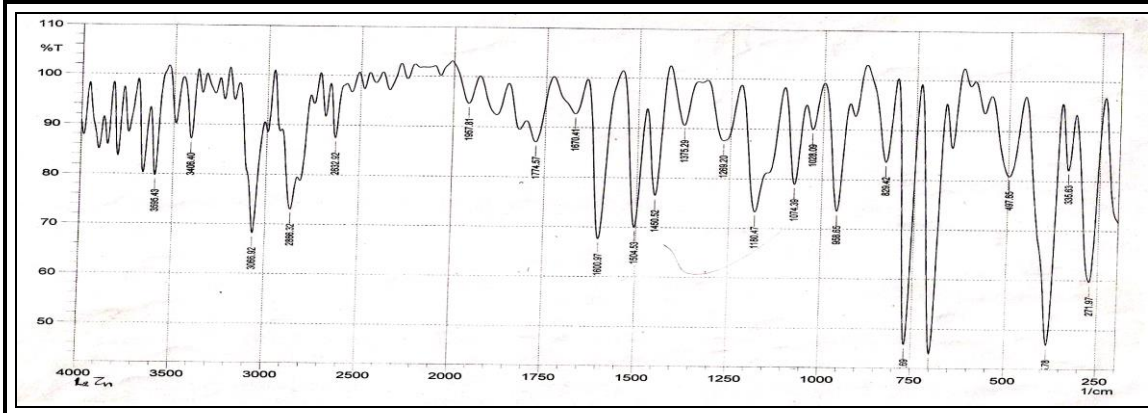
شكل (21) : طيف الأشعة تحت الحمراء للمعقد [Co (CHPAI)<sub>2</sub> Cl<sub>2</sub>]



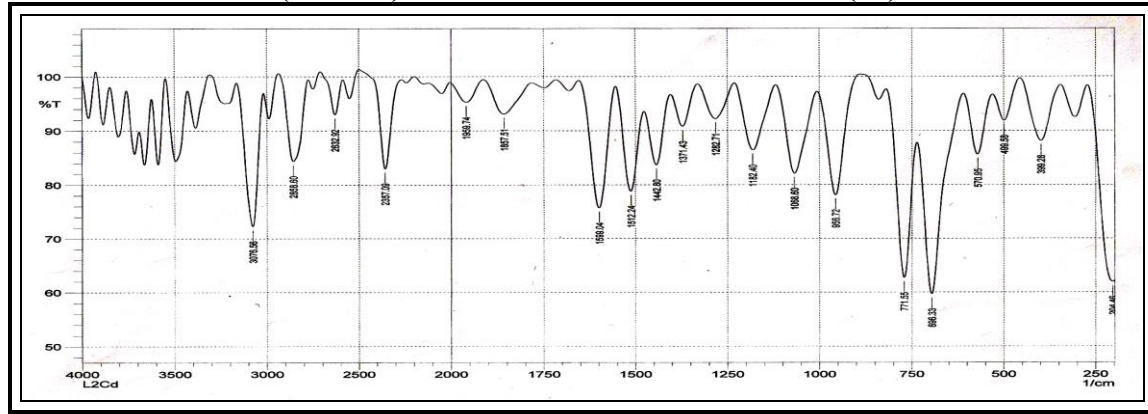
شكل (22) : طيف الأشعة تحت الحمراء للمعدن [ Ni (CHPAI)<sub>2</sub> Cl<sub>2</sub> ]



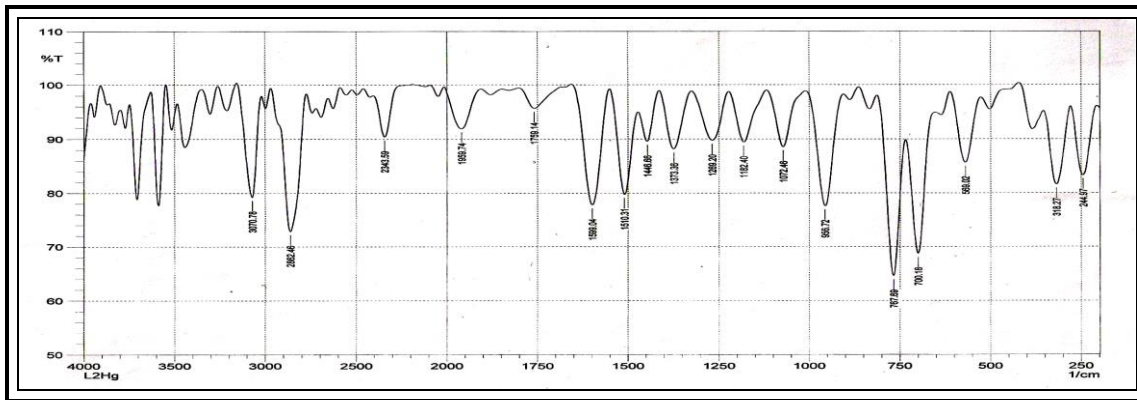
شكل (23) : طيف الأشعة تحت الحمراء للمعدن [ Cu (CHPAI)<sub>2</sub> Cl<sub>2</sub> ]



شكل (24) : طيف الأشعة تحت الحمراء للمعدن [ Zn (CHPAI)<sub>2</sub> Cl<sub>2</sub> ]



شكل (25) : طيف الأشعة تحت الحمراء للمعدن [ Cd (CHPAI)<sub>2</sub> Cl<sub>2</sub> ]



شكل (26) : طيف الأشعة تحت الحمراء للمعقد [Hg (CHPAI)<sub>2</sub> Cl<sub>2</sub>]

### ثالثاً" : التحليل الكمي الدقيق للعناصر

استخدمت هذه التقنية لتشخيص الليكанд وبعض المعقدات المحضرة الصلبة وقد أدرجت نتائج هذه الدراسة في الجدول (7) وعند مقارنة القيم المستحصلة عملياً مع تلك المحسوبة نظرياً" تبين بشكل واضح التقارب الكبير بينهما مما يؤكّد صحة النسب المولية المضافة من (فلز- ليكанд).

جدول (7) : نتائج التحليل الكمي الدقيق للعناصر (C.H.N) للليكанд وبعض معقداته

Compound	C% (نظري) (عملي)	H% (نظري) (عملي)	N% (نظري) (عملي)
( CHPAI)	(68.72) (68.41)	(4.42) (4.05)	(14.58) (14.31)
[Mn (CHPAI) <sub>2</sub> Cl <sub>2</sub> ]	/	/	/
[ Fe (CHPAI) <sub>2</sub> Cl <sub>2</sub> ]	/	/	/
[ Co(CHPAI) <sub>2</sub> Cl <sub>2</sub> ]	/	/	/
[ Ni (CHPAI) <sub>2</sub> Cl <sub>2</sub> ]	(58.81) (58.79)	(3.56) (3.25)	(12.47) (12.41)
[Cu (CHPAI) <sub>2</sub> Cl <sub>2</sub> ]	/	/	/
[Zn (CHPAI) <sub>2</sub> Cl <sub>2</sub> ]	(58.38) (58.27)	(3.35) (3.25)	(12.38) (12.29)
[ Cd (CHPAI) <sub>2</sub> Cl <sub>2</sub> ]	/	/	/
[Hg(CHPAI) <sub>2</sub> Cl <sub>2</sub> ]	(50.78) (50.66)	(3.07) (3.01)	(10.77) (10.68)

### رابعاً" : القياسات المغناطيسية

القياسات المغناطيسية دوراً هاماً" في تشخيص التراكيب الفراغية للمعقدات الفلزية (14,15) تعطي معلومات عن الحالة التأكسدية والترتيب الإلكتروني فضلاً عن عدد الإلكترونات المنفردة للأيون الفلزي المشارك في تكوين المعقد . فتعين عدد الإلكترونات المنفردة لأيون الفلز يفيد في معرفة حالة البرم الإلكتروني للمعقد.

تم إجراء قياسات الحساسية المغناطيسية للمعقدات المحضرة عند درجة حرارة (298) مطلاقة ، وجرى تصحيح الدايماغناطيسية للذرات في الجزيئات العضوية والأيونات الفلزية والجذور اللاعضوية باستخدام الجداول ( ثوابت بascal ) ، وتم حساب قيم العزم المغناطيسي الفعال (Effective Magnetic Moment) على وفق المعادلات الآتية :

$$X_m = X_g \times M.wt \dots \dots \dots (1)$$

$$X_A = X_m - D \dots \dots \dots (2)$$

حیث :

$X^g$  = الحاسية الغرامية ( الوزنية )

$$\text{الوزن الجزئي للمعد} = M \cdot \text{wt}$$

**الحسابية المولارية =  $Xm$**

$D$  = معامل التصحیح الدایا مغناطیسیہ

**الحساسية الذرية = XA**

الرواية المطلقة

$B.M.$  = وحدة العزم المغناطيسي، (ببور مغناطون)

لقد بينت نتائج الدراسة لمعقدات الليكاند (CHPAI) مع الايونات الفلزية موضوع الدراسة إن معقد المنغنيز (II) الليكاند يمتلك عزم برم فقط (B.M5.96) مما يشير بوضوح لوجود خمسة الكترونات منفردة وعدم وجود مساهمة اوربتالية لجميع معقدات الايون المذكور الرباعية والثمانية السطوح عالية البرم وهو موافق لما جاء في الأدبيات<sup>(16)</sup> مع الحالة المستقرة (S<sup>6</sup>) لمعقدات المنغنيز (II) ثمانية السطوح عالية البرم.

أما معقد الحديد (II) مع الليكанд (CHPAI) فقد أظهر عزماً "مغناطيسيًا" مقداره (4.91 B.M) مما يشير بوضوح إلى وجود المساهمة الاوربتالية مضافةً للعزم بصيغة البرم وهي تتوافق مع القيم الواردة في الأدبيات لمعقدات الحديد (17) ثمانية السطوح . وأظهر معقد الكوبالت (II) مع الليكанд (CHPAI) قيمة عزم مغناطيسي (4.92 B.M) ويتفق هذا مع رمز الحالة الأرضية (T) لمعقدات ثمانية السطوح مع وجود المساهمة الاوربتالية لقيمة العزم المغناطيسي (17) وهي ضمن مدى معقدات ثمانية السطوح عاللة البرم (18) .

أما معدن النيكل (II) لليكاند المذكور أعلاه فقد أعطى عزوماً مغناطيسية فعالة مقدارها  $2.94 \text{ B.M}$  (18,17) ضمن مدى عزوم المعدقات ثمانية السطوح البالغة  $(2.83 \text{ B.M})$  وتعزى هذه الزيادة في القيمة العملية إلى الانحراف عن بنية ثمانية السطوح المنتظمة.

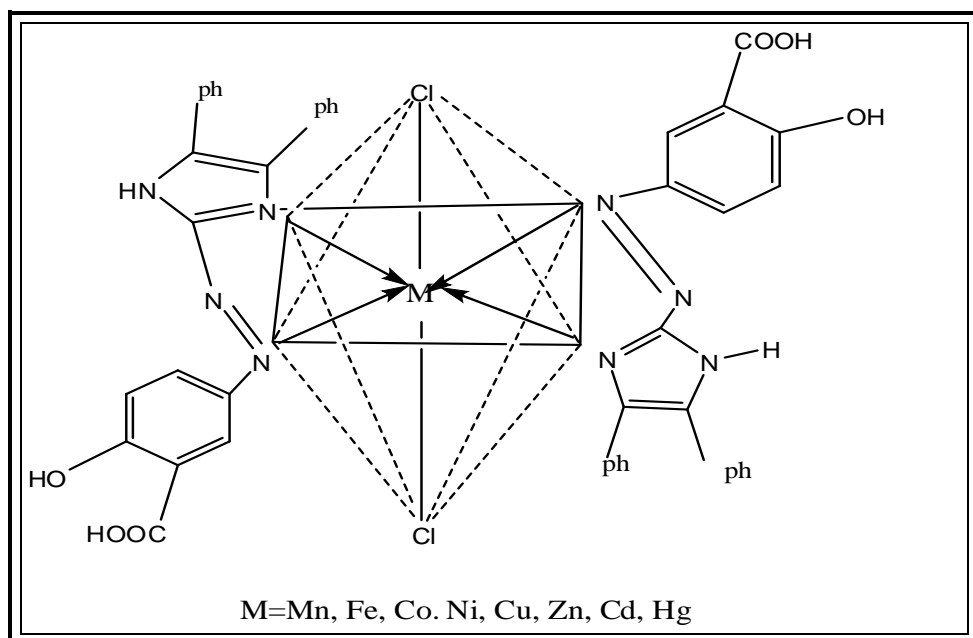
لقد أظهرت القياسات المغناطيسية لمعدن النحاس (II) مع ليكائد الأزوغ غير المتجانسة الحلقة عزوماً" مغناطيسية قريبة جداً" من عزم البرم فقط وقد بلغت (M.B. 1.74) مما يدل على عدم وجود مساهمة اوربالية وبالتالي عدم وجود معدن رباعي السطوح الذي تحدث به المساهمة الاوربالية مما يشير بوضوح إلى ان معدن النحاس المذكور ربما يتخذ الشكل ثماني السطوح<sup>(19)</sup> أما معدنات المجموعة (IIB) الثانية التكافؤ فقد بينت الدراسة عدم امتلاكها لأية صفة مغناطيسية وتنقق هذه النتائج مع ما جاء في الأديبيات وهي عدم وجود الكترونات منفردة في جميع هذه الايونات لامتلاكها اورباليات ممتلئة كلية". وقد أدرجت قيم المعيارية المغناطيسية في الجدول (8).

جدول (8) : يوضح قيم المعيارية المغناطيسية للمعقادات المحضررة

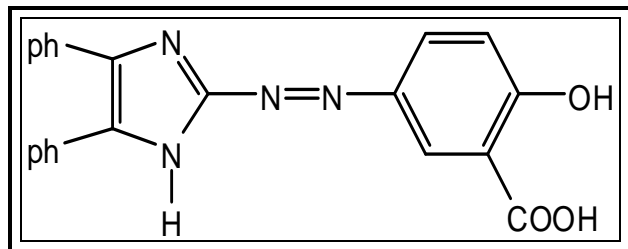
Complex	$\mu_{\text{eff.}}$
[Mn (CHPAI) <sub>2</sub> Cl <sub>2</sub> ]	5.96
[ Fe (CHPAI) <sub>2</sub> Cl <sub>2</sub> ]	4.91
[ Co(CHPAI) <sub>2</sub> Cl <sub>2</sub> ]	4.92
[ Ni (CHPAI) <sub>2</sub> Cl <sub>2</sub> ]	2.94
[Cu (CHPAI) <sub>2</sub> Cl <sub>2</sub> ]	1.74
[Zn (CHPAI) <sub>2</sub> Cl <sub>2</sub> ]	Dia
[Cd (CHPAI) <sub>2</sub> Cl <sub>2</sub> ]	Dia
[ Hg (CHPAI) <sub>2</sub> Cl <sub>2</sub> ]	Dia

#### الصيغ التركيبية المقترحة للمعقادات

استناداً إلى معطيات القياسات التشخيصية المذكورة آنفاً للمعقادات الكيليتية المحضررة في دراستنا هذه وبالاعتماد على ما ورد في الأدبيات حول موقع التنساق المتاحة في الليكائد وكيفية ارتباطه مع الايونات الفلزية يمكننا الاستنتاج بأن الليكائد يسلك كليكائد ثانوي السن ، إذ تنسق من خلال ذرتين واهبتين أو لاحا ذرة النيتروجين لحفلة الأميدازول وثانية ذرة نيتروجين مجموعة الأزوو الجسرية البعيدة عن الحفلة المذكورة التي شاركت بالارتباط مع الايون الفلزى لتكون حلقة كيليتية فلزية خماسية مستقرة . من كل ما تقدم يمكننا وضع الصيغة المقترحة للمعقادات موضوع الدراسة والأشكال الفراغية لها وهي إن الشكل الفراغي المقترح لجميع المعقادات المحضررة هو ثماني السطوح Octahedral ، إذ ارتبطت الايونات بالليكائد من خلال موقع التنساق المشار إليها سابقاً حول أطراف قاعدة الشكل ثماني السطوح في حين ارتبط ايوننا الكلوري بموقع التنساق الشاغرة الأخرى ، كما موضح في الشكل (27) .



شكل (27) : الشكل الهندسي المقترح للمعقادات



شكل (28) : الشكل الهندسي للبيكانت موضوع الدراسة

**المصادر :**

- 1- H. Lucaus, "Organic Chemistry", 2<sup>nd</sup> edition, American Book Company, New York, (1960), PP: 484-488.
- 2- E. Hofer and Wong. WtEur, J., Inorg. Chem., (2001), 12 ,3163.
- 3- L. Wang ;C. Bailly ;A. Kumar ;D. Ding ;M. Bajic and W. D. Wilson ,Proc.Nat.Acad.Sci.USA, (2002),97,12.
- 4- N. Hadjiliads ; A. Krezel and W. Bal , Inorg. Chim.Acta , (2002), 339 ,60.
- 5- S. Pal and C. Sinha, Proc. Indian, J. Chem. Sci. , (2001), 113 (3),173.
- 6- K. G. Al-Adely, F. H. Hussein and A. M. Al-Habiban, Nat. J. Chem., (2001), 3, 424.
- 7- I. R. Ali, M. Sci., Thesis, University of Kufa, (2005).
- 8- K. Hofman , "Imidazole and it's derivatative ", Interscience , New York , (1953).
- 9- J. H. Yoe and A. L. Jones; Ind . Eng. Chem., Anal., Ed., (1944), 16 , 11.
- 10 - T. S. AL-Ghabsha and M. G. Al-Abachi; "Fundamentals Of Analytical Chemistry";(1986), P.346 .
- 11- S. E. AL-Mukhtar and I. A. Mustafa, " Inorganic and Coordination Chemistry", Arabic Version, University of Mosul, (1988), 611.
- 12- K. J. Ali, A. M. Ali, and R. K. Mihsun ; Babylon University for pure and Applied Sci., (2008), 15(3) ,1026 ..
- 13- H. Ouama, A. Ohashi and H. Watarai; Anal.Sci., (2004),20 ,1543..
- 14- R. L. Carlin and A. J. Van Duyneveldt, "Magnetic properties of Transition. Metal Compounds ", New . York, (1977).
- 15 - F. E. Mabbs and D. J. Machin, " Magnatism and Transition Metal Complexes" Chopman and Hall, London ,(1973).
- 16 - Y. M. Muthar; Iraqi J. of Sci ,(1999), 40(A), 1.
- 17 - T. K. AL-Naimi, M.Sci. Thesis. University of Baghdad, (2001).
- 18- B. B. Mahapatra and S. K. Pujari, Trans-Met, Chem., (1983),8 , 202.
- 19- K. J. AL-Adely, A. M. Ali and R. T. Mehdi; Nati, J.Chem., (2010), 38 , 311 .